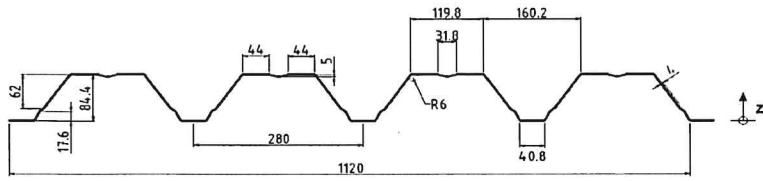


Stahltrapezprofil Typ **M 85/280**

Querschnitts- und Bemessungswerte

EN 1993-1-3

Profiltafel in **Positivlage**



Anlage 8.1

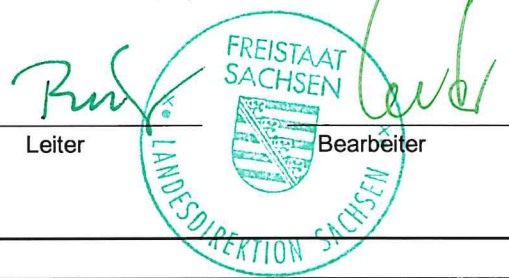
Als Typenentwurf

in bautechnischer Hinsicht geprüft

Prüfbescheid-Nr. **T 18-007**

**Landesdirektion Sachsen
- Landesstelle für Bautechnik**

Leipzig, den 09.03.2018



Nennstreckgrenze des Stahlkerns $f_{y,k} = 320 \text{ N/mm}^2$

Charakteristische Tragfähigkeitswerte für andrückende Flächenbelastung ³⁾

Nennblechdicke	Feldmoment	Endauflagerkraft ⁶⁾		Elastisch aufnehmbare Schnittgrößen an Zwischenauflagern ^{1) 2) 4) 5)}												
				Quer- kraft	Quadratische Interaktion						Zwischenaflagerkräfte ¹⁹⁾					
					Stützmomente ¹⁹⁾			Zwischenaflagerkräfte ¹⁹⁾			Stützmomente ¹⁹⁾			Zwischenaflagerkräfte ¹⁹⁾		
					$l_{a,B} = 60 \text{ mm}$	$l_{a,B} = 160 \text{ mm}$	$l_{a,B} = -$	$l_{a,B} = 60 \text{ mm}$	$l_{a,B} = 160 \text{ mm}$	$l_{a,B} = -$	$l_{a,B} = 60 \text{ mm}$	$l_{a,B} = 160 \text{ mm}$	$l_{a,B} = -$			
t_N	$M_{c,Rk,F}$	$R_{w,Rk,A}$		$V_{w,Rk}$	$M_{0,Rk,B}$	$M_{c,Rk,B}$	$M_{0,Rk,B}$	$M_{c,Rk,B}$	$M_{0,Rk,B}$	$M_{c,Rk,B}$	$R_{0,Rk,B}$	$R_{w,Rk,B}$	$R_{0,Rk,B}$	$R_{w,Rk,B}$	$R_{0,Rk,B}$	$R_{w,Rk,B}$
mm	kNm/m	kN/m			kNm/m						kN/m					
0,75	5,17	5,60	10,80	35,54	5,91	5,09	6,86	5,80	-	-	21,42	19,47	26,98	28,37	-	-
0,88	7,65	7,95	14,60	56,68	7,62	6,80	8,85	7,76	-	-	30,92	27,19	42,84	39,33	-	-
1,00	9,94	10,46	18,20	73,46	9,20	8,38	10,70	9,57	-	-	39,13	35,29	58,55	50,73	-	-
1,13	11,60	13,54	25,30	94,03	11,20	10,20	12,80	11,60	-	-	50,20	45,08	74,42	64,41	-	-
1,25	13,10	16,71	31,90	115,22	13,00	11,90	14,70	13,40	-	-	59,49	55,03	90,48	78,22	-	-
1,50	15,80	17,99	38,50	163,36	15,60	14,40	17,80	16,20	-	-	72,28	78,48	108,01	110,50	-	-

Reststützmomente ⁷⁾

t_N	$l_{a,B} = 60 \text{ mm}$			$l_{a,B} = 160 \text{ mm}$			$l_{a,B} = -$			Reststützmomente $M_{R,Rk}$
	min L	max L	max $M_{R,Rk}$	min L	max L	max $M_{R,Rk}$	min L	max L	max $M_{R,Rk}$	
	mm	m	kNm/m	m	kNm/m	m	kNm/m			
0,75	3,19	3,67	1,32	2,50	3,17	2,09	-	-	-	$M_{R,Rk} = 0$ für $L \leq \min L$ $M_{R,Rk} = \max M_{R,Rk}$ für $L \geq \max L$ $M_{R,Rk} = \frac{L - \min L}{\max L - \min L} \cdot \max M_{R,Rk}$
0,88	3,72	4,19	1,63	3,01	3,65	2,52	-	-	-	
1,00	4,21	4,67	1,92	3,48	4,10	2,91	-	-	-	
1,13	3,77	4,23	2,57	3,03	3,67	4,04	-	-	-	
1,25	3,36	3,84	3,17	2,61	3,27	5,08	-	-	-	
1,50	3,36	3,84	3,83	2,61	3,27	6,13	-	-	-	

Charakteristische Tragfähigkeitswerte für abhebende Flächenbelastung ^{1) 2)}

Nennblechdicke	Feldmoment	Befestigung in jedem anliegenden Gurt							Befestigung in jedem 2. anliegenden Gurt						
		Endauflagerkraft	Quadratische Interaktion Zwischenaflager						Endauflagerkraft	Quadratische Interaktion Zwischenaflager					
			$M_{0,Rk,B}$	$M_{c,Rk,B}$	$R_{0,Rk,B}$	$R_{w,Rk,B}$	$V_{w,Rk}$	$R_{w,Rk,A}$		$M_{0,Rk,B}$	$M_{c,Rk,B}$	$R_{0,Rk,B}$	$R_{w,Rk,B}$	$V_{w,Rk}$	
t_N	$M_{c,Rk,F}$	$R_{w,Rk,A}$	kNm/m			kN/m				kN/m	kNm/m			kN/m	
0,75	5,32	35,63	6,86	5,49	-	-	35,54	17,82	3,43	2,74	-	-	17,77		
0,88	6,54	57,26	8,89	7,11	-	-	56,68	28,63	4,44	3,56	-	-	28,34		
1,00	7,72	74,21	10,72	8,58	-	-	73,46	37,10	5,36	4,29	-	-	36,73		
1,13	9,02	94,96	12,78	10,22	-	-	94,03	47,48	6,39	5,11	-	-	47,01		
1,25	10,24	116,07	14,78	11,83	-	-	115,22	58,04	7,39	5,91	-	-	57,61		
1,50	12,43	166,63	18,71	14,97	-	-	163,36	83,31	9,35	7,48	-	-	81,68		

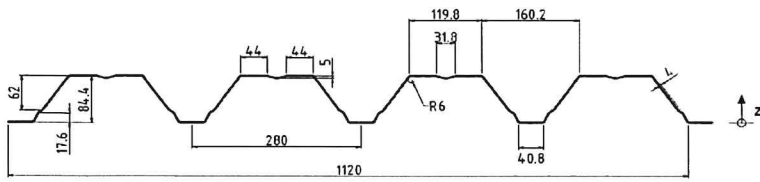
Fußnoten s. Beiblatt 1/2 bzw. 2/2

Stahltrapezprofil Typ **M 85/280**

Querschnitts- und Bemessungswerte

EN 1993-1-3

Profiltafel in **Positivlage**



Anlage 8.2

Als Typenentwurf

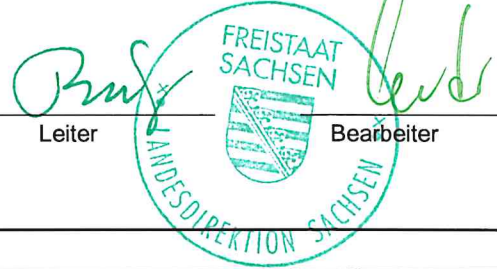
in bautechnischer Hinsicht geprüft

Prüfbescheid-Nr. **T 18-007**

Landesdirektion Sachsen

- Landesstelle für Bautechnik -

Leipzig, den 09.03.2018



Nennstreckgrenze des Stahlkerns $f_{y,k} = 320 \text{ N/mm}^2$

Maßgebende Querschnittswerte

Nennblechdicke	Eigenlast	Biegung ^{a)}		Normalkraftbeanspruchung						Grenzstützweiten ¹⁰⁾	
				nicht reduzierter Querschnitt			wirksamer Querschnitt ^{b)}			L _{gr} in m	
				I_{ef}^+	I_{ef}	A_g	i_g	z_g	A_{eff}	i_{eff}	z_{eff}
t _N	g	cm ⁴ /m		cm ² /m	cm		cm ² /m	cm			
0,75	0,080	101,00	100,00	9,34	3,19	5,07	3,99	3,72	4,71	3,64	4,55
0,88	0,094	119,00	117,00	11,05	3,19	5,07	5,31	3,68	4,78	5,10	6,38
1,00	0,107	136,00	133,00	12,62	3,19	5,07	6,65	3,64	4,84	8,04	10,05
1,13	0,121	150,00	148,00	14,33	3,19	5,07	8,21	3,61	4,89	9,09	11,36
1,25	0,133	162,00	162,00	15,96	3,19	5,07	9,74	3,58	4,93	10,05	12,56
1,50	0,160	196,00	195,00	19,26	3,19	5,07	13,08	3,48	5,02	12,06	15,08

Schubfeldwerte

Nennblechdicke	Grenz Zustand der Tragfähigkeit ¹⁵⁾				Grenz Zustand der Gebrauchstauglichkeit ¹⁶⁾				F _{t,Rk} in kN ¹⁸⁾		
	L _R	T _{1,Rk}	T _{crit,g}	T _{crit,l}	T _{3,Rk,N}	T _{3,Rk,S}	k ₁ '	k ₂ '	Einleitungslänge a		
	t _N	¹¹⁾	¹¹⁾ ¹²⁾	¹²⁾	¹⁷⁾	¹⁷⁾	¹³⁾ ¹⁴⁾		≥ 130 mm	≥ 280 mm	
mm	m	kN/m						m/kN	m ² /kN		
0,75	8,00	56,80	4,00	43,39	3,06	2,99	0,231	16,031	13,50	16,50	
0,88	8,00	67,20	5,15	66,05	4,66	4,55	0,195	10,529	15,90	19,50	
1,00	8,00	76,80	6,29	92,23	6,51	6,35	0,171	7,541	18,30	22,20	
1,13	8,00	87,20	7,61	126,70	8,95	8,72	0,150	5,490	20,70	25,20	
1,25	8,00	96,80	8,93	164,50	11,61	11,32	0,135	4,228	22,95	28,05	
1,50	8,00	116,80	11,83	263,08	18,57	18,10	0,112	2,644	27,75	33,90	

Beiwerte:

$k_1^* = 3,13 \text{ 1/kN}$ ¹⁴⁾	$k_2^* = 1,96 \text{ m}^2/\text{kN}$ ¹⁴⁾	$k_3^* = 0,603$ ¹⁵⁾
--	---	--------------------------------

Fußnoten s. Beiblatt 1/2 bzw. 2/2

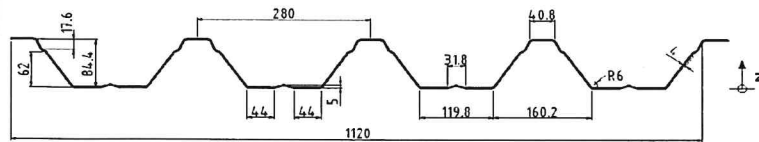
Stahltrapezprofil Typ

M 85/280

Querschnitts- und Bemessungswerte

EN 1993-1-3

Profiltafel in **Negativlage**



Anlage 8.3

Als Typenentwurf

in bautechnischer Hinsicht geprüft

Prüfbescheid-Nr. **T 18-007**

Landesdirektion Sachsen
- Landesstelle für Bautechnik -

Leipzig, den 09.03.2018



Leiter

Bearbeiter

Nennstreckgrenze des Stahlkerns $f_{y,k} = 320 \text{ N/mm}^2$

Charakteristische Tragfähigkeitswerte für andrückende Flächenbelastung ³⁾

Nennblechdicke	Feldmoment	Endauflagerkraft ⁶⁾		Elastisch aufnehmbare Schnittgrößen an Zwischenauflagern ^{1) 2) 4) 5)}												
				Quer-kraft	Quadratische Interaktion						Zwischenauflagerkräfte ¹⁹⁾					
					Stützmomente ¹⁹⁾			Zwischenauflagerkräfte ¹⁹⁾			Stützmomente ¹⁹⁾			Zwischenauflagerkräfte ¹⁹⁾		
					$l_{a,B} = 60 \text{ mm}$	$l_{a,B} = 160 \text{ mm}$	$l_{a,B} = -$	$l_{a,B} = 60 \text{ mm}$	$l_{a,B} = 160 \text{ mm}$	$l_{a,B} = -$	$l_{a,B} = 60 \text{ mm}$	$l_{a,B} = 160 \text{ mm}$	$l_{a,B} = -$			
t_N	$M_{c,Rk,F}$	$R_{w,Rk,A}$	$V_{w,Rk}$	$M_{0,Rk,B}$	$M_{c,Rk,B}$	$M_{0,Rk,B}$	$M_{c,Rk,B}$	$M_{0,Rk,B}$	$M_{c,Rk,B}$	$R_{0,Rk,B}$	$R_{w,Rk,B}$	$R_{0,Rk,B}$	$R_{w,Rk,B}$	$R_{0,Rk,B}$	$R_{w,Rk,B}$	
mm	kNm/m	kN/m		kN/m												
0,75	5,75	4,32	6,54	35,54	5,19	5,19	5,19	5,19	-	-	16,81	15,09	24,49	21,98	-	-
0,88	7,80	6,02	8,99	56,68	7,06	7,06	7,06	7,06	-	-	23,04	20,66	33,29	29,88	-	-
1,00	9,69	7,83	11,58	73,46	8,80	8,80	8,80	8,80	-	-	29,55	26,52	42,45	38,12	-	-
1,13	11,50	10,07	14,73	94,03	10,47	10,47	10,47	10,47	-	-	37,47	33,65	53,52	48,07	-	-
1,25	13,10	12,40	17,98	115,22	12,04	12,04	12,04	12,04	-	-	45,59	40,97	64,78	58,23	-	-
1,50	15,80	17,99	25,82	163,36	15,17	15,17	15,17	15,17	-	-	64,89	58,56	91,37	82,46	-	-

Reststützmomente ⁷⁾

t_N	$l_{a,B} = 60 \text{ mm}$			$l_{a,B} = 160 \text{ mm}$			$l_{a,B} = -$			Reststützmomente $M_{R,Rk}$
	min L	max L	max $M_{R,Rk}$	min L	max L	max $M_{R,Rk}$	min L	max L	max $M_{R,Rk}$	
	mm	m	kNm/m	m	kNm/m	m	kNm/m	kNm/m		
0,75	2,54	3,04	1,65	2,09	2,79	2,47	-	-	-	$M_{R,Rk} = 0$ für $L \leq \min L$ $M_{R,Rk} = \max M_{R,Rk}$ für $L \geq \max L$ $M_{R,Rk} = \frac{L - \min L}{\max L - \min L} \cdot \max M_{R,Rk}$
0,88	2,56	3,06	2,38	2,15	2,84	3,48	-	-	-	
1,00	2,57	3,07	3,06	2,20	2,89	4,41	-	-	-	
1,13	2,52	3,02	3,71	2,11	2,80	5,48	-	-	-	
1,25	2,48	2,98	4,30	2,02	2,72	6,46	-	-	-	
1,50	2,48	2,98	5,19	2,02	2,72	7,80	-	-	-	

Charakteristische Tragfähigkeitswerte für abhebende Flächenbelastung ^{1) 2)}

Nennblechdicke	Feldmoment	Befestigung in jedem anliegenden Gurt							Befestigung in jedem 2. anliegenden Gurt				
		Endauflagerkraft	Quadratische Interaktion Zwischenauflager						Endauflagerkraft	Quadratische Interaktion Zwischenauflager			
			$R_{w,Rk,A}$	$M_{0,Rk,B}$	$M_{c,Rk,B}$	$R_{0,Rk,B}$	$R_{w,Rk,B}$	$V_{w,Rk}$		$R_{w,Rk,A}$	$M_{0,Rk,B}$	$M_{c,Rk,B}$	$R_{0,Rk,B}$
t_N	$M_{c,Rk,F}$	$R_{w,Rk,A}$	$M_{0,Rk,B}$	$M_{c,Rk,B}$	$R_{0,Rk,B}$	$R_{w,Rk,B}$	$V_{w,Rk}$	$R_{w,Rk,A}$	$M_{0,Rk,B}$	$M_{c,Rk,B}$	$R_{0,Rk,B}$	$R_{w,Rk,B}$	$V_{w,Rk}$
mm	kNm/m	kN/m	kNm/m			kN/m		kN/m	kNm/m			kN/m	
0,75	5,14	35,63	6,45	5,16	-	-	35,54	17,82	3,22	2,58	-	-	17,77
0,88	6,98	57,26	8,08	6,46	-	-	56,68	28,63	4,04	3,23	-	-	28,34
1,00	8,74	74,21	9,53	7,62	-	-	73,46	37,10	4,76	3,81	-	-	36,73
1,13	10,40	94,96	11,13	8,90	-	-	94,03	47,48	5,57	4,45	-	-	47,01
1,25	11,98	116,07	12,65	10,12	-	-	115,22	58,04	6,33	5,06	-	-	57,61
1,50	15,15	166,63	15,29	12,23	-	-	163,36	83,31	7,64	6,11	-	-	81,68

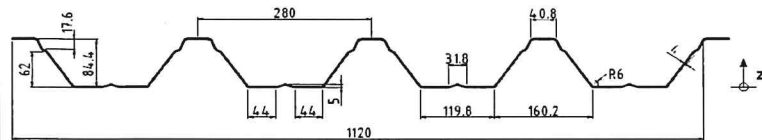
Fußnoten s. Beiblatt 1/2 bzw. 2/2

Stahltrapezprofil Typ **M 85/280**

Querschnitts- und Bemessungswerte

EN 1993-1-3

Profiltafel in **Negativlage**



Anlage 8.4

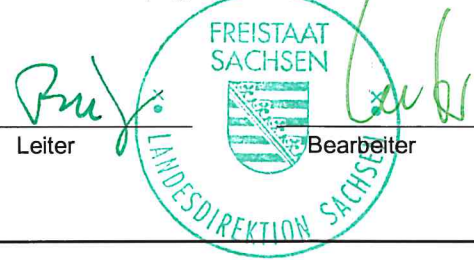
Als Typenentwurf

in bautechnischer Hinsicht geprüft

Prüfbescheid-Nr. **T 18-007**

**Landesdirektion Sachsen
- Landesstelle für Bautechnik -**

Leipzig, den 09.03.2018



Nennstreckgrenze des Stahlkerns $f_{y,k} = 320 \text{ N/mm}^2$

Maßgebende Querschnittswerte

Nennblechdicke	Eigenlast	Biegung ⁸⁾		Normalkraftbeanspruchung						Grenzstützweiten ¹⁰⁾	
				nicht reduzierter Querschnitt			wirksamer Querschnitt ⁹⁾			L _{gr} in m	
				I_{ef}^+	I_{ef}	A_g	i_g	z_g	A_{eff}	i_{eff}	z_{eff}
mm	kN/m ²	cm ⁴ /m		cm ² /m	cm		cm ² /m	cm			
0,75	0,080	100,00	101,00	9,34	3,19	3,37	3,99	3,72	3,73	4,19	5,24
0,88	0,094	117,00	119,00	11,05	3,19	3,37	5,31	3,68	3,66	5,87	7,34
1,00	0,107	133,00	136,00	12,62	3,19	3,37	6,65	3,64	3,60	8,00	10,00
1,13	0,121	148,00	150,00	14,33	3,19	3,37	8,21	3,61	3,55	9,04	11,30
1,25	0,133	162,00	162,00	15,96	3,19	3,37	9,74	3,58	3,51	10,00	12,50
1,50	0,160	195,00	196,00	19,26	3,19	3,37	13,08	3,48	3,42	12,00	15,00

Schubfeldwerte

Nennblechdicke	Grenz Zustand der Tragfähigkeit ¹⁵⁾				Grenz Zustand der Gebrauchstauglichkeit ¹⁶⁾				F _{t,Rk} in kN ¹⁸⁾		
	L _R	T _{1,Rk}	T _{crit,g}	T _{crit,l}	T _{3,Rk,N}	T _{3,Rk,S}	k ₁ '	k ₂ '	Einleitungslänge a		
	t_N	¹¹⁾	¹¹⁾ ¹²⁾	¹²⁾	¹⁷⁾	¹⁷⁾	¹³⁾ ¹⁴⁾		≥ 130 mm	≥ 280 mm	
mm	m	kN/m						m/kN	m ² /kN		
0,75	8,00	56,80	4,00	43,39	2,61	17,83	0,231	16,031	21,00	21,00	
0,88	8,00	67,20	5,15	66,05	3,98	27,15	0,195	10,529	24,90	24,90	
1,00	8,00	76,80	6,29	92,23	5,55	37,91	0,171	7,541	28,35	28,35	
1,13	8,00	87,20	7,61	126,70	7,63	52,07	0,150	5,490	32,25	32,25	
1,25	8,00	96,80	8,93	164,50	9,90	67,61	0,135	4,228	35,85	35,85	
1,50	8,00	116,80	11,83	263,08	15,83	108,13	0,112	2,644	43,20	43,20	

Beiwerte:

$k_1^* = 3,13 \text{ 1/kN}$ ¹⁴⁾ $k_2^* = 1,96 \text{ m}^2/\text{kN}$ ¹⁴⁾ $k_3^* = 0,603$ ¹⁵⁾

Fußnoten s. Beiblatt 1/2 bzw. 2/2

Beiblatt 1/2	Erläuterungen zu den Querschnitts- und Bemessungswerten (EN 1993-1-3)	
<p>1) Interaktionsbeziehung für M und V (elastisch-elastisch)</p> $\frac{M_{Ed}}{M_{c,Rk,B}/\gamma_M} \leq 1 \quad \text{wenn} \quad \frac{V_{Ed}}{V_{w,Rk}/\gamma_M} \leq 0,5$ <p>Für $\frac{V_{Ed}}{V_{w,Rk}/\gamma_M} > 0,5$ gilt Gleichung 6.27 (EN 1993-1-3), die im Sinne der Sicherheit vereinfacht werden kann:</p> $\frac{M_{Ed}}{M_{c,Rk,B}/\gamma_M} + \left(2 \cdot \frac{V_{Ed}}{V_{w,Rk}/\gamma_M} - 1\right)^2 \leq 1$	<p>2) Interaktionsbeziehung für M und R (elastisch-elastisch)</p> <p>Lineare Interaktionsbeziehung für M und R:</p> $\frac{M_{Ed}}{M_{c,Rk,B}/\gamma_M} \leq 1 \quad \text{und} \quad \frac{F_{Ed}}{R_{w,Rk,B}/\gamma_M} \leq 1$ $\frac{M_{Ed}}{M_{0,Rk,B}/\gamma_M} + \frac{F_{Ed}}{R_{0,Rk,B}/\gamma_M} \leq 1$ <p><u>Anmerkung:</u> Für rechnerisch ermittelte Werte gilt: $M_{0,Rk,B} = 1,25 \cdot M_{c,Rk,B}$ und $R_{0,Rk,B} = 1,25 \cdot R_{w,Rk,B}$</p>	
<p>3) Werden quer zur Spannrichtung und rechtwinklig zur Profilebene Linienlasten in das Trapezprofil eingeleitet, so ist der Nachweis der Tragfähigkeit aus der umgekehrten Profillage als Interaktionsnachweis (vgl. Fußnote 2) durchzuführen.</p>		
<p>4) Für kleinere Zwischenaufgängerlängen $l_{a,B}$ als angegeben, müssen die aufnehmbaren Tragfähigkeitswerte linear im entsprechenden Verhältnis reduziert werden. Für $l_{a,B} < 10$ mm, z.B. bei Rohren, darf maximal der Wert für $l_{a,B} = 10$ mm eingesetzt werden.</p>	<p>Quadratische Interaktionsbeziehung für M und R:</p> $\frac{M_{Ed}}{M_{c,Rk,B}/\gamma_M} \leq 1 \quad \text{und} \quad \frac{F_{Ed}}{R_{w,Rk,B}/\gamma_M} \leq 1$ $\frac{M_{Ed}}{M_{0,Rk,B}/\gamma_M} + \left(\frac{F_{Ed}}{R_{0,Rk,B}/\gamma_M}\right)^2 \leq 1$	
<p>5) Bei Auflagerlängen, die zwischen den aufgeführten Auflagerlängen liegen, dürfen die aufnehmbaren Tragfähigkeitswerte jeweils linear interpoliert werden.</p>		
<p>6) Der Profilüberstand für die wirksame Auflagerlänge $l_{a,A1}$ ist mit $c \geq 40$ mm einzuhalten. Die Auflagerkräfte $R_{w,Rk,A}$ dürfen verdoppelt werden, wenn für $l_{a,A1}$ der Profilüberstand $c \geq 1,5 \cdot h_w$ ausgeführt wird. Die Auflagerlänge $l_{a,A2}$ entspricht, abweichend von EN 1993-1-3 6.1.7.3(4), der wirksamen Auflagerlänge einschließlich des Profilüberstandes c. Die hier für $l_{a,A2}$ angegebenen Auflagerkräfte $R_{w,Rk,A}$ sind experimentell bestätigte oder von diesen abgeleitete Werte.</p>		
<p>7) Tragfähigkeitsnachweis (plastisch-plastisch) für andrückende Einwirkungen:</p> <p>Stützmomente sind auf die sich aus den jeweils angrenzenden Feldlängen ergebenden Reststützmomente $M_{R,Rk}/\gamma_M$ zu begrenzen. Für das damit unter Bemessungslasten entstehende maximale Feldmoment muss gelten:</p> $M_{Ed} \leq M_{c,Rk,F}/\gamma_M$ <p>Außerdem ist für die im Endfeld entstehende Endauflagerkraft folgende Bedingung einzuhalten:</p> $F_{Ed} \leq R_{w,Rk,A}/\gamma_M$ <p>Für den Nachweis der Gebrauchstauglichkeit ist am elastischen System nachzuweisen, dass bei gleichzeitigem Auftreten von Stützmoment und Auflagerkraft an einer Zwischenstütze die 0,9-fache Beanspruchbarkeit nicht überschritten wird (vgl. Fußnote 2). Sind keine Werte für Reststützmomente angegeben, ist beim Tragfähigkeitsnachweis $M_{R,Rk} = 0$ zu setzen.</p>		
<p>8) Wirksame Trägheitsmomente für die Lastrichtung nach unten (+) bzw. oben (-).</p>		
<p>9) Wirksamer Querschnitt für eine konstante Druckspannung $\sigma = f_{y,k}$.</p>		
<p>10) Maximale Stützweiten, bis zu denen das Trapezprofil ohne Last verteilende Maßnahmen begangen werden darf.</p>		
<p>11) Die Werte gelten nur für $\beta_v \leq 0,2$. Für $\beta_v \geq 0,3$ ist der Nachweis mit $l_{a,B} = 10$ mm zu führen.</p> $\beta_v = \frac{ V_{Ed,1} - V_{Ed,2} }{ V_{Ed,1} + V_{Ed,2} }$ <p>Dabei sind $V_{Ed,1}$ und $V_{Ed,2}$ die Beträge der Querkräfte auf jeder Seite der örtlichen Lasteinleitung oder der Auflagerreaktion. Es gilt: $V_{Ed,1} \geq V_{Ed,2}$</p>		
<p>12) Blechdicke: Minustoleranz nach DIN EN 10143:2006, Tabelle 2 „Eingeschränkte Grenzabmaße (S)“</p>		

Schubfelder nach Bryan/Davies

13) Der globale kritische Beulschubfluss ist an die vorhandenen Stützweiten anzupassen:
 $T'_{crit,g} = T_{crit,g} \cdot (L_R/L_{Si})^2$ mit L_{Si} = maximale Einzelstützweite in m. Für Einfeldträger kann $T_{crit,g}$ verdoppelt werden.

14) Der Grenzwert der Beanspruchbarkeit infolge Beulen ergibt sich aus:
 $T_{2,Rk} = 0,7 \cdot \frac{T'_{crit,g} \cdot T_{crit,l}}{T'_{crit,g} + T_{crit,l}}$, wenn $T_{crit,l}$ angegeben ist. Andernfalls ist $T_{2,Rk} = 0,7 \cdot T'_{crit,g}$.

15) Der Grenzwert der Beanspruchbarkeit zur Einhaltung des maximalen Gleitwinkels 1/750 ergibt sich aus:
 $T_{4,Rk} = \frac{1}{750} \cdot \frac{1}{(k'_1 \cdot \alpha_2 + k'_2 \cdot \alpha_1 \cdot \alpha_4 / L_S)} \cdot 10^4$ mit L_S = Gesamtlänge des Schubfeldes in m.

16) Die Schubsteifigkeit S zur Berechnung der Gesamtverformung des Schubfeldes unter dem Schubfluss T ergibt sich zu:

$$S = \frac{10^4}{\left[(k'_1 \cdot \alpha_2 + k'_1 \cdot e_L) + \frac{(k'_2 \cdot \alpha_1 \cdot \alpha_4 + k'_2 \cdot \alpha_3)}{L_S} \right]}$$

mit
 e_L = Abstand der Verbindungselemente in den Längsstößen in m.
 Bei Sonderausführung der Befestigung kann k_2' halbiert werden (Fußnote 19))

Beiwerte zu 15) und 16):

Anzahl der Felder →	1	2	3	4	5	6	7	8
Anzahl der Auflager →	2	3	4	5	6	7	8	9
α_1	1,00	1,00	0,85	0,70	0,60	0,60	0,60	0,60
α_2	1,00	1,00	0,75	0,67	0,55	0,50	0,44	0,40
α_3	1,00	1,00	0,90	0,80	0,71	0,64	0,58	0,53

$\alpha_4 = 1,00$
 (ohne Querstoß im Schubfeld)
 $\alpha_4 = 1,3 + 0,3 \cdot n'b$
 ($n'b$ = Anzahl der Querstöße im Schubfeld)

17) Im Grenzzustand der Tragfähigkeit ist nachzuweisen:
 $T_{E,d} \leq \frac{T_{1,Rk}}{\gamma_{M1}}$ und $T_{E,d} \leq \frac{T_{2,Rk}}{\gamma_{M1}}$ Die Bemessungswerte der Quer- und Auflagerkräfte sind um $F_{Ed,S} = k'_3 \cdot T_{E,d}$ zu vergrößern.

18) Im Grenzzustand der Gebrauchstauglichkeit ist nachzuweisen:
 $T_{E,d} \leq \frac{T_{3,Rk,N}}{\gamma_{M,ser}}$ oder $T_{E,d} \leq \frac{T_{3,Rk,S}}{\gamma_{M,ser}}$ Der Nachweis von $T_{3,Rk}$ ist nur bei bituminös verklebten Dachaufbauten erforderlich.
 $T_{E,d} \leq \frac{T_{4,Rk}}{\gamma_{M,ser}}$

19) Sonderausführungsarten der Befestigung:

Eine Sonderausführung der Befestigung ist gegeben, wenn jede Rippe mit je einem Befestigungselement unmittelbar neben jedem Steg des Trapezprofils (siehe Bild 1) befestigt wird. Alternativ darf eine runde oder rechteckige Unterlegscheibe (siehe Bild 2), die unter das mittig eingebrachte Befestigungselement anzuordnen ist, verwendet werden. Die Unterlegscheibe muss den Untergurt in seiner gesamten ebenen Breite überdecken.

Für die Scheibendicke gilt:

$$d \geq 2,7 \cdot t_{cor} \cdot \sqrt[3]{\frac{l}{c_u}} \text{ und } d \geq 2,00 \text{ mm}$$

mit

l = Untergurtbreite des Trapezprofils

c_u = Breite der Unterlegscheibe in Trapezprofilängsrichtung oder Durchmesser der Unterlegscheibe

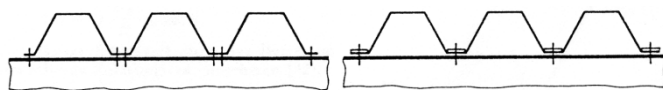


Bild 1

Bild 2

20) Einzellasten $F_{t,Rk}$ in kN je Rippe für die Einleitung in Trapezprofile in Spannrichtung ohne Lasteinleitungsträger.